

ANALIZA STATYCZNA KONSTRUKCJI PRĘTOWO-PŁYTOWYCH
METODĄ ELEMENTÓW SKOŃCZONYCH, Z UWZGLĘDNIENIEM
SKRĘCANIA NIESWOBODNEGO

EUGENIUSZ R U S I Ń S K I (WROCLAW)

1. Wstęp

Przeprowadzenie analizy wytrzymałościowej cienkościennych konstrukcji prętowo-płytowych z uwzględnieniem skręcania nieswobodnego metodami tradycyjnymi [1] przysparzało wiele trudności natury obliczeniowej pod względem szybkości jak i zakresu obliczeń. W znanych na świecie i w kraju systemach (np. SEZAM-69, NASKA, WAT-KM) nie uwzględnia się technicznej teorii WLASOVA [1]. Ostatnio pojawiło się wiele publikacji dotyczących obliczania prętowych konstrukcji cienkościennych z uwzględnieniem skręcania nieswobodnego, opartych na metodzie sił oraz metodzie elementów skończonych [2, 3] z opracowanymi programami na EMC.

W niniejszej pracy podejmuje się próbę możliwie ogólnego określenia macierzy sztywności prostokątnego elementu (superelementu) prętowo-płytowego. Wyznaczenie macierzy sztywności takiego elementu jest przydatne w konstrukcjach powtarzalnych oraz zmniejsza efektywny czas obliczeń EMC. Zagadnienie rozważane jest jako liniowe. Rozważania szczegółowe opierają się na metodzie elementów skończonych, z uwzględnieniem technicznej teorii WLASOVA [1].

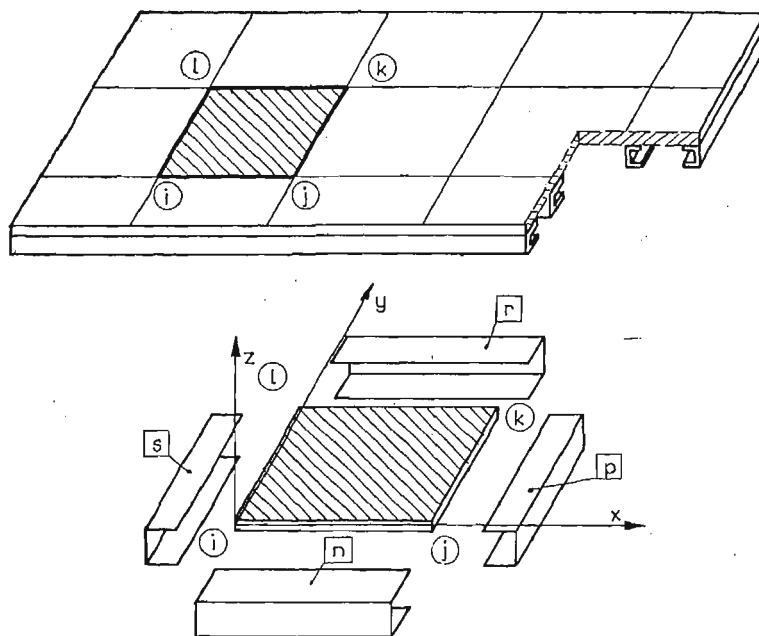
2. Określenie macierzy sztywności elementu prostokątnego prętowo-płytowego

Macierz sztywności elementu prętowo-płytowego wyznaczamy analogicznie jak w pracy [4], metodą superpozycji. Określa się macierz sztywności płyty, a następnie rusztu, pokazanego na rys. 1, składającego się z czterech prętów cienkościennych. Macierz sztywności elementu prętowo-płytowego wyznacza się w ogólnej postaci jako

$$(2.1.) \quad [k_{u-p}] = [k_u] + [k_p],$$

gdzie: $[k_u]$ — macierz sztywności rusztu jednoobwodowego ramy obciążonej przestrzennie,
 $[k_p]$ — macierz sztywności elementu płyty.

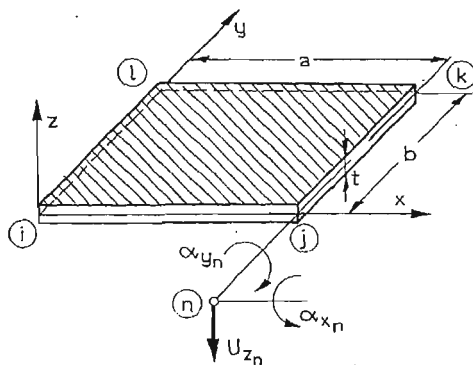
Prostokątny element płyty połączony jest z dowolnymi elementami prętowymi n, p, r, s wzdłuż krawędzi płyty w sposób ciągły (rys. 1). Wielkości węzłowe odniesione są do osi prętów i powierzchni środkowej płyty, pominięto mimośród prętów.



Rys. 1. Konstrukcja rusztowo-płytowa jako zbiór elementów prostokątnych prętowo-powłokowych.

2.1. **Macierz sztywności prostokątnego elementu płyty.** Analizujemy prostokątny element płyty o węzłach i, j, k, l , gdzie początek układu współrzędnych przyjęto w węzle „ i ”, jak pokazano na rys. 2. W każdym węźle zadane są przemieszczenia $\{V_n\}$. Mają one trzy składowe: przemieszczenie liniowe u_{z_n} w kierunku osi z , oraz dwa obroty $\alpha_{x_n}, \alpha_{y_n}$ wokół osi x i y . Przemieszczenia węzłów można zatem przedstawić w postaci:

$$(2.1.1.) \quad \{V_n\} = \begin{Bmatrix} u_{z_n} \\ \alpha_{x_n} \\ \alpha_{y_n} \end{Bmatrix} = \begin{Bmatrix} u_{z_n} \\ \left(\frac{\partial u_z}{\partial y}\right)_n \\ -\left(\frac{\partial u_z}{\partial x}\right)_n \end{Bmatrix}.$$



Rys. 2. Prostokątny element płyty.

Uogólnione siły węzłowe odpowiadające tym przemieszczeniom można interpretować jako jedną siłę i dwa momenty.

$$(2.1.2.) \quad \{S_n\} = \begin{Bmatrix} P_{z_n} \\ M_{x_n} \\ M_{y_n} \end{Bmatrix}.$$

Funkcję kształtu przyjęto w postaci wielomianu [5], w którym występuje 12 parametrów:

$$(2.1.3.) \quad u_z = \alpha_1 + \alpha_2 x + \alpha_3 y + \alpha_4 x^2 + \alpha_5 xy + \alpha_6 y^2 + \alpha_7 x^3 + \\ + \alpha_8 x^2 y + \alpha_9 xy^2 + \alpha_{10} y^3 + \alpha_{11} x^3 y + \alpha_{12} xy^3$$

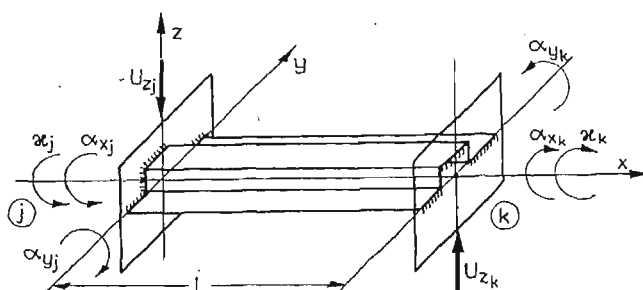
Macierz sztywności, wiążąca siły węzłowe z odpowiednimi im przemieszczeniami węzłów, dla tak przyjętej funkcji kształtu, określa się na podstawie kinematycznego pola przemieszczeń wg [6] w postaci:

$$(2.1.4.) \quad k_p = \int_0^a \int_0^b [b]^T [D] [b] dx dy$$

Po wyznaczeniu elementów składowych powyższego równania i scałkowaniu otrzymano macierz sztywności prostokątnego elementu płyty, którą przedstawiono w tabelicy 1.

2.2. Macierz sztywności rusztu jednoobwodowego. Rozważany ruszt jest zbudowany z czterech prętów cienkościennych n, p, r, s połączonych ze sobą sztywno (rys. 1). Przy połączeniu sztywnym zginanie prętów jednego kierunku powoduje zginanie i skręcanie prętów drugiego kierunku. W związku z tym w węzłach mogą wystąpić trzy różne wielkości statyczne: siła poprzeczna i dwie składowe momentów. Natomiast w rusztach z prętów cienkościennych przy nieswobodnym skręcaniu powstaje spaczenie przekroju [1], w wyniku czego w węzle występuje czwarta składowa - bimoment. Przedstawiony na rys. 1 ruszt jest opisany węzłami i, j, k, l z początkiem układu współrzędnych w węzle „i”.

W celu wyznaczania macierzy sztywności cienkościennego elementu (rys. 3) wykorzy-



Rys. 3. Wydzielony element pręta cienkościennego.

stuje się zamieszczone w pracy [1] równanie różniczkowe kątów obrotu przekroju przy nieswobodnym skręcaniu w postaci:

$$(2.2.1.) \quad \alpha_x^{IV} - \frac{GI_d}{EI_\omega} \alpha_x'' = 0,$$

Tablica I.

Macierz sztywności prostokątnego elementu płyty w stanie zgięciowym.

| | 1 | 2 | 3 | 4 | 5 | 6 | 7 | 8 | 9 | 10 | 11 | 12 |
|----------|--------|--------|----------|----------|-----------|-----------|----------|-----------|-----------|-----------|-----------|----|
| e_1 | e_5 | $-e_6$ | e_7 | e_9 | $-e_{11}$ | e_{13} | e_{14} | $-e_{16}$ | e_8 | e_{17} | $-e_{15}$ | |
| e_2 | $-e_4$ | e_3 | e_9 | e_{10} | $-e_{14}$ | e_{18} | e_{19} | $-e_{17}$ | $-e_{17}$ | e_{19} | 0 | |
| e_3 | e_3 | e_3 | e_{11} | 0 | e_{12} | e_{16} | 0 | e_{20} | $-e_{15}$ | 0 | e_{21} | |
| e_4 | e_1 | e_1 | e_1 | e_5 | e_6 | e_8 | e_{17} | e_{15} | e_{13} | e_{14} | e_{16} | |
| e_5 | e_1 | e_1 | e_1 | e_2 | e_4 | $-e_{17}$ | e_{19} | $-e_{14}$ | $-e_{14}$ | e_{18} | 0 | |
| e_6 | e_3 | e_3 | e_3 | e_2 | e_4 | e_{15} | 0 | $-e_{16}$ | $-e_{16}$ | 0 | e_{20} | |
| e_7 | e_3 | e_3 | e_3 | e_2 | e_4 | e_1 | $-e_5$ | e_7 | e_7 | $-e_9$ | e_{11} | |
| e_8 | e_3 | e_3 | e_3 | e_2 | e_4 | e_1 | $-e_5$ | e_2 | $-e_9$ | e_{10} | 0 | |
| e_9 | e_3 | e_3 | e_3 | e_2 | e_4 | e_1 | $-e_5$ | e_2 | $-e_9$ | $-e_{11}$ | 0 | |
| e_{10} | e_3 | e_3 | e_3 | e_2 | e_4 | e_1 | $-e_5$ | e_2 | $-e_{11}$ | e_1 | $-e_6$ | |
| e_{11} | e_3 | e_3 | e_3 | e_2 | e_4 | e_1 | $-e_5$ | e_2 | $-e_{11}$ | e_1 | $-e_6$ | |
| e_{12} | e_3 | e_3 | e_3 | e_2 | e_4 | e_1 | $-e_5$ | e_2 | $-e_{11}$ | e_1 | $-e_6$ | |
| e_{13} | e_3 | e_3 | e_3 | e_2 | e_4 | e_1 | $-e_5$ | e_2 | $-e_{11}$ | e_1 | $-e_6$ | |
| e_{14} | e_3 | e_3 | e_3 | e_2 | e_4 | e_1 | $-e_5$ | e_2 | $-e_{11}$ | e_1 | $-e_6$ | |
| e_{15} | e_3 | e_3 | e_3 | e_2 | e_4 | e_1 | $-e_5$ | e_2 | $-e_{11}$ | e_1 | $-e_6$ | |
| e_{16} | e_3 | e_3 | e_3 | e_2 | e_4 | e_1 | $-e_5$ | e_2 | $-e_{11}$ | e_1 | $-e_6$ | |
| e_{17} | e_3 | e_3 | e_3 | e_2 | e_4 | e_1 | $-e_5$ | e_2 | $-e_{11}$ | e_1 | $-e_6$ | |
| e_{18} | e_3 | e_3 | e_3 | e_2 | e_4 | e_1 | $-e_5$ | e_2 | $-e_{11}$ | e_1 | $-e_6$ | |
| e_{19} | e_3 | e_3 | e_3 | e_2 | e_4 | e_1 | $-e_5$ | e_2 | $-e_{11}$ | e_1 | $-e_6$ | |
| e_{20} | e_3 | e_3 | e_3 | e_2 | e_4 | e_1 | $-e_5$ | e_2 | $-e_{11}$ | e_1 | $-e_6$ | |
| e_{21} | e_3 | e_3 | e_3 | e_2 | e_4 | e_1 | $-e_5$ | e_2 | $-e_{11}$ | e_1 | $-e_6$ | |
| e_{22} | e_3 | e_3 | e_3 | e_2 | e_4 | e_1 | $-e_5$ | e_2 | $-e_{11}$ | e_1 | $-e_6$ | |

$[kp] =$

$$A_1 = \frac{E r^3 ab}{12(1-\nu^2)}$$

$$e_1 = A_1 \left(\frac{4}{a^4} + \frac{4}{b^4} + \frac{14-4\nu}{5a^2b^2} \right),$$

$$e_2 = A_1 \left(\frac{4}{3b^2} + \frac{4}{15} \frac{1-\nu}{a^2} \right),$$

$$e_3 = A_1 \left(\frac{4}{3a^2} + \frac{4}{15} \frac{1-\nu}{b^2} \right), \quad e_4 = \frac{A_1 \nu}{ab}$$

$$e_5 = A_1 \left(\frac{2}{b^3} + \frac{1+4\nu}{5a^2b} \right), \quad e_6 = A_1 \left(\frac{2}{a^3} + \frac{1+4\nu}{5ab^2} \right),$$

$$e_7 = A_1 \left(\frac{4}{a^4} + \frac{2}{b^4} - \frac{14-4\nu}{5a^2b^2} \right), \quad e_8 = A_1 \left(\frac{2}{a^4} - \frac{4}{b^4} - \frac{14-4\nu}{5a^2b^2} \right),$$

$$e_9 = A_1 \left(\frac{1}{b^3} - \frac{1+4\nu}{5a^2b} \right), \quad e_{10} = A_1 \left(\frac{2}{3b^2} - \frac{4}{15} \frac{1-\nu}{a^2} \right),$$

$$e_{11} = A_1 \left(\frac{2}{a^3} + \frac{1-\nu}{5ab^2} \right), \quad e_{12} = A_1 \left(\frac{2}{3a^2} - \frac{1-\nu}{15b^2} \right), \quad e_{13} = A_1 \left(\frac{2}{a^4} - \frac{2}{b^4} + \frac{14-4\nu}{5a^2b^2} \right),$$

$$e_{14} = A_1 \left(\frac{1}{b^3} - \frac{1-\nu}{5a^2b} \right), \quad e_{15} = A_1 \left(\frac{1}{a^3} - \frac{1+4\nu}{5ab^2} \right), \quad e_{16} = A_1 \left(\frac{1}{a^3} - \frac{1-\nu}{5ab^2} \right),$$

$$e_{17} = A_1 \left(\frac{2}{b^3} + \frac{1-\nu}{5a^2b} \right), \quad e_{18} = A_1 \left(\frac{1}{3b^2} + \frac{1-\nu}{15a^2} \right), \quad e_{19} = A_1 \left(\frac{2}{3b^2} - \frac{1-\nu}{15a^2} \right),$$

$$e_{20} = A_1 \left(\frac{1}{3a^2} + \frac{1-\nu}{15b^2} \right), \quad e_{21} = A_1 \left(\frac{2}{3a^2} - \frac{1-\nu}{15b^2} \right).$$

oraz równanie osi ugięcia pręta

$$(2.2.2.) \quad EI_y z = -Mg$$

gdzie: E — moduł Younga,

G — moduł Kirchhoffa,

I_d — moment bezwładności przekroju na skręcanie,

I_ω — główny wycinkowy moment bezwładności przekroju,

I_y — moment bezwładności przekroju na zginanie.

Z przedstawionych powyższych równań różniczkowych wyznaczono macierz sztywności dla pręta cienkościennego (rys. 3), którą zamieszczono w tabelicy 2.

Tabela 2.

Macierz sztywności cienkościennego elementu pręta.

| | | | | | | | | | | |
|-----------|-----|-----|------|------|------|------|-----|-----|------|---|
| | | 1 | 2 | 3 | 4 | 5 | 6 | 7 | 8 | |
| $[k_g] =$ | A | 0 | 0 | $-B$ | $-A$ | 0 | 0 | 0 | $-B$ | 1 |
| | | M | $-P$ | 0 | 0 | R | P | 0 | 0 | 2 |
| | | | S | 0 | 0 | $-P$ | S | 0 | 0 | 3 |
| | | | | Y | F | B | 0 | 0 | T | 4 |
| | | | | | M | A | 0 | 0 | B | 5 |
| | | | | | | E | M | P | 0 | 6 |
| | | | | | | | T | S | 0 | 7 |
| | | | | | | | | | F | 8 |

$A = \frac{12EI_y}{L^3},$
 $B = \frac{6EI_y}{L^2},$
 $F = \frac{4EI_y}{L}, \quad T = \frac{2EI_y}{L}$
 $k^2 = \frac{GI_d}{EJ_\omega}$

$$M = \frac{GI_d}{qk} [k \cdot L \cosh(kL) - \sinh(kL)],$$

$$P = \frac{GI_d}{q} [\cosh(kL) - 1],$$

$$R = \frac{GI_d}{qk} [\sinh(kL) - kL], \quad S = \frac{GI_d}{q} k \cdot \sinh(kL),$$

$$q = 2 + kL \sinh(kL) - 2 \cosh(kL)$$

gdzie: L przyjmuje wartości a lub b .

Po określeniu macierzy sztywności pręta, określamy macierz sztywności rusztu jednoobwodowego według następującej zależności:

$$(2.2.11.) \quad k_u = \sum_{i=1}^n [C^T][k_g][C]_i$$

gdzie: $[C]$ — macierz transformacji z układu rusztu jednoobwodowego do układu lokalnego pręta.

Macierz transformacji przedstawia zależność

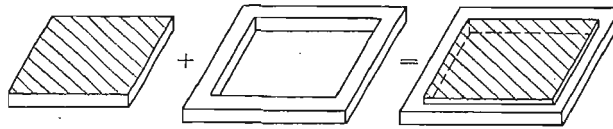
$$(2.2.12.) \quad [C] = \begin{bmatrix} [C_E] \\ [C_E] \end{bmatrix},$$

gdzie:

$$(2.2.13.) \quad [C_E] = \begin{bmatrix} 1 & 0 & 0 & 0 \\ 0 & 1 & 0 & 0 \\ 0 & 0 & \cos \gamma & \sin \gamma \\ 0 & 0 & -\sin \gamma & \cos \gamma \end{bmatrix}.$$

Kąt γ w tym przypadku przyjmuje dwie wartości, zależnie od położenia pręta, w ruszcie jednoobwodowym: 0 lub $\pi/2$. Macierz sztywności elementarnego rusztu jednoobwodowego $[k_u]$ przedstawiono w tablicy 3.

2.3. Macierz sztywności elementu prostokątnego prętowo-płytowego. Znając macierze sztywności elementów, płyty $[k_u]$ (tabl. 1) oraz jednoobwodowego rusztu $[k_p]$ (tabl. 3) wyznacza się



Rys. 4. Prostokątny element prętowo-płytowy.

macierz sztywności elementu prętowo-płytowego $[k_{u-p}]$ na zasadzie superpozycji jak to pokazano na rys. 4.

Zagadnienie sprowadza się do dodania odpowiednich składników do siebie. Dodawania tego nie można zrobić wprost, gdyż macierz sztywności $[k_u]$ ma w węźle 4 składowe ($u_{z_i}, \alpha_i, \alpha_{x_i}, \alpha_{y_i}$) natomiast macierz sztywności płyty ma w węźle po 3 składowe ($u_{z_i}, \alpha_{x_i}, \alpha_{y_i}$). W macierzy sztywności płyty brakujące wiersze i kolumny pochodzące od deplanacji przekroju pręta uzupełnia się zerami, w wyniku czego otrzymuje się nową macierz $[k_p^*]$.

Wówczas równanie (2.1) przyjmuje postać:

$$(2.3.1.) \quad [k_{u-p}] = [k_u] + [k_p^*],$$

gdzie: $[k_p^*]$ — macierz sztywności elementu płyty z zerową deplanacją przekroju.

Ze względu na wymiary macierzy sztywności $[k_{u-p}]$ przedstawia się ją w formie:

$$(2.3.2.) \quad [k_{u-p}] = \begin{bmatrix} [k_1] & [k_2] \\ S_{YM} & [k_3] \end{bmatrix}.$$

Odpowiednie podmacierze $[k_1]$, $[k_2]$ i $[k_3]$ zamieszczone są w kolejnych tablicach 4, 5 i 6.

3. Program PPLY

Powyżej przedstawiona macierz sztywności cienkościennego elementu prętowo-płytowego, posłużyła do zbudowania programu PPLY. opartego na metodzie elementów skończonych z uwzględnieniem skręcania nieswobodnego. Program ten napisano w języku

Tablica 3.

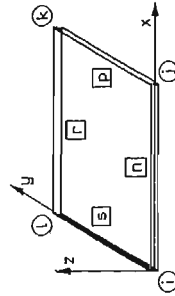
Macierz sztywności rusztu jednoobwodowego.

$$[k_{ij}] =$$

| ,,i'' | | | ,,j'' | | | | ,,k'' | | | | ,,l'' | | | | |
|-------------|-------------|-------------|--------|-------------|-------------|--------|-------------|-------------|-------------|-------------|-------------|-------------|-------------|-------------|-------------|
| 1 | 2 | 3 | 4 | 5 | 6 | 7 | 8 | 9 | 10 | 11 | 12 | 13 | 14 | 15 | 16 |
| $A_n + A_s$ | 0 | B_s | $-A_n$ | $-A_n$ | 0 | 0 | $-B_n$ | 0 | 0 | 0 | 0 | $-A_s$ | 0 | $-B_s$ | 0 |
| $M_n + M_s$ | $-P_n$ | P_s | 0 | R_n | R_n | P_n | 0 | 0 | 0 | 0 | 0 | 0 | R_s | 0 | P_s |
| | $S_n + F_s$ | 0 | 0 | $-P_n$ | S_n | S_n | 0 | 0 | 0 | 0 | 0 | B_s | 0 | T_s | 0 |
| | | $F_n + S_s$ | 0 | 0 | 0 | 0 | T_n | 0 | 0 | 0 | 0 | 0 | $-P_s$ | 0 | S_s |
| | | S | B_n | $A_n + A_p$ | 0 | $-B_p$ | B_n | $-A_p$ | 0 | $-B_p$ | 0 | 0 | 0 | 0 | 0 |
| | | | Y | $M_n + M_p$ | P_n | P_n | $-P_p$ | 0 | R_p | 0 | P_p | 0 | 0 | 0 | 0 |
| | | | | M | $S_n + F_p$ | E | 0 | B_p | 0 | T_p | 0 | 0 | 0 | 0 | 0 |
| | | | | | | | $F_n - S_p$ | 0 | $-P_p$ | 0 | $-S_p$ | 0 | 0 | 0 | 0 |
| | | | | | | | T | $A_p + A_r$ | 0 | B_p | $-B_r$ | $-A_r$ | 0 | 0 | $-B_r$ |
| | | | | | | | | R | $M_p + M_r$ | $-P_r$ | P_p | 0 | R_r | P_r | 0 |
| | | | | | | | | | I | $F_p + S_r$ | 0 | 0 | $-P_r$ | S_r | 0 |
| | | | | | | | | | | A | $F_r + S_r$ | B_r | 0 | 0 | T_r |
| | | | | | | | | | | | | $A_s + A_n$ | 0 | $-B_s$ | B_n |
| | | | | | | | | | | | | | $M_s + M_n$ | P_n | $-P_s$ |
| | | | | | | | | | | | | | | $S_n + F_s$ | 0 |
| | | | | | | | | | | | | | | | $T_n - S_s$ |

$$A_n = A_n \cdot n', A_p = A_p \cdot p',$$

$$\dots, T_s = T_s \cdot s'$$



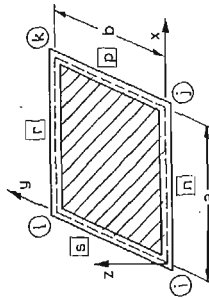
n, p, r, s — numery prętów
 i, j, k, l — numery węzłów

Współczynniki n', p', r', s' przyjmują tylko dwie wartości, 1 gdy występuje dany pręt w elemencie lub 0, gdy nie występuje.

Tablica 4.

Podmacierze sztywności prostokątnego elementu prętowo- płytowego

| | 1 | 2 | 3 | 4 | 5 | 6 | 7 | 8 |
|---|-------------------|-------------------|-------------------|-------------------|-------------------|-------------|-------------------|-------------------|
| 1 | $A_n + A_s + e_1$ | 0 | $B_s + e_5$ | $-A_n - e_6$ | $-A_n + e_7$ | 0 | e_9 | $-B_n - e_{11}$ |
| 2 | $M_n + M_s$ | $M_n + M_s$ | $-P$ | P_s | 0 | R_n | P_n | 0 |
| 3 | | $S_n + F_s + e_2$ | $S_n + F_s + e_2$ | $-e_4$ | e_9 | $-P_n$ | $S_n + e_{10}$ | 0 |
| 4 | | | | $F_n + S_s + e_3$ | $B_n + e_{11}$ | 0 | 0 | $T_n + e_{12}$ |
| 5 | | | | | $A_n + A_p + e_1$ | 0 | $-B_p + e_5$ | $B_n + e_6$ |
| 6 | | | | | | $M_n + M_p$ | P_n | $-P_p$ |
| 7 | | | | | | | $S_n + F_p + e_2$ | e_4 |
| 8 | | | | | | | | $F_n - S_p + e_3$ |



$$[k_1] =$$

Tablica 5.

Podmatryce sztywności prostokątnego elementu prętowo-plytowego [cd.]

| | 9 | 10 | 11 | 12 | 13 | 14 | 15 | 16 |
|---|----------------|--------|----------------|-----------------|----------------|--------|-----------------|----------------|
| 1 | e_{13} | 0 | e_{14} | $-e_{16}$ | $-A_s - e_8$ | 0 | $-B_s + e_{17}$ | $-e_{15}$ |
| 2 | 0 | 0 | 0 | 0 | 0 | R_s | 0 | P_s |
| 3 | $-e_{14}$ | 0 | e_{18} | 0 | $B_s - e_{17}$ | 0 | $T_s + e_{19}$ | 0 |
| 4 | e_{16} | 0 | 0 | e_{20} | $-e_{15}$ | $-P_s$ | 0 | $S_s + e_{21}$ |
| 5 | $-A_p + e_8$ | 0 | $-B + e_{17}$ | e_{15} | e_{13} | 0 | e_{14} | e_{16} |
| 6 | 0 | R_p | 0 | P_p | 0 | 0 | 0 | 0 |
| 7 | $B_p - e_{17}$ | 0 | $T_p + e_{19}$ | 0 | $-e_{14}$ | 0 | e_{18} | 0 |
| 8 | e_{15} | $-P_p$ | 0 | $-S_p + e_{21}$ | $-e_{16}$ | 0 | 0 | e_{20} |

$[k_2] =$

Tablica 6.

Podmacierze sztywności prostokątnego elementu prętowo- płytowego [cd.]

| | 9 | 10 | 11 | 12 | 13 | 14 | 15 | 16 |
|----|-------------------|-------------|-------------------|-------------------|-------------------|-------------|-----------------|-----------------|
| 9 | $A_p + A_r + e_1$ | 0 | $B_p - e_5$ | $-B_r + e_6$ | $-A_r + e_7$ | 0 | $-e_9$ | $-B_r + e_{11}$ |
| 10 | | $M_p + M_r$ | $-P_r$ | P_p | 0 | R_r | P_r | 0 |
| 11 | | | $F_p + S_p + e_2$ | $-e_4$ | $-e_9$ | $-P_r$ | $S_r + e_{10}$ | 0 |
| 12 | | | | $F_r + S_r + e_3$ | $B_r - e_{11}$ | 0 | 0 | $T_r + e_{12}$ |
| 13 | | | | | $A_s + A_n + e_1$ | 0 | $-B_s - e_5$ | $B_n - e_6$ |
| 14 | | | | | | $M_s + M_n$ | P_n | $-P_s$ |
| 15 | | | | | | | $S_n F_s + e_2$ | e_4 |
| 16 | | | | | | | | $T_n - S_5$ |

$[k_3] =$

FORTTRAN 1900 i uruchomiono go na maszynie cyfrowej serii ODRA 1300. Obliczać można dowolne konstrukcje płaskie obciążone przestrzennie, składające się z elementów:

- prętowo-płytyowych (o elementach prostokątnych),
- prętowych (ruszty),
- płytowych.

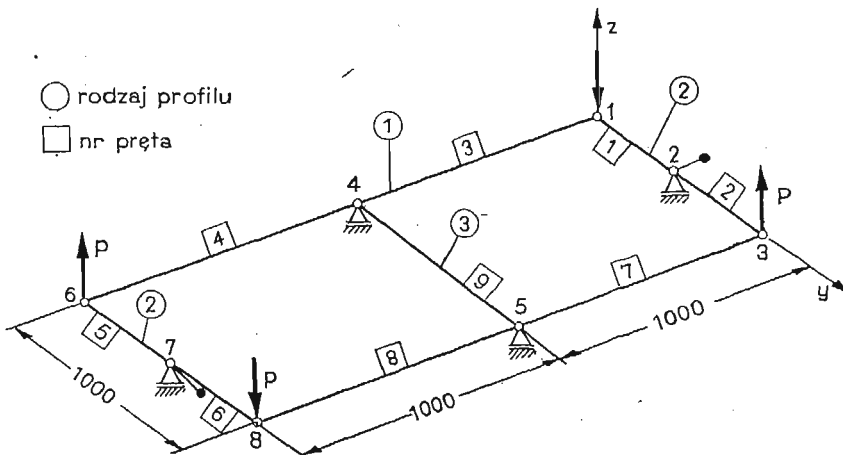
Pręty mogą być o dowolnym, lecz stałym przekroju, a w połączeniu z płytą stanowią jej ożebrowanie lub wzmocnienie brzegów. Obciążenie zewnętrzne może być stałe ciągłe lub skupione — przykładane w węzłach elementów. W danym do programu należy podać dyskretne wielkości geometryczne prętów i płyty. Jako wyniki otrzymuje się przemieszczenia węzłów konstrukcji (u_z, α_x, α_y) oraz siły wewnętrzne w elementach prętowych i płytowych. Ponadto program PPLY liczy w każdym elemencie prętowym naprężenia:

- gnące (σ_θ),
 - normalne wycinkowe (σ_ω — pochodzące od bimomentu),
 - styczne do San-Venanta (τ_v),
 - styczne wycinkowe (τ_ω),
 - zredukowane (σ_z — wg hipotezy Hubera),
- oraz w elemencie płyty naprężenia $\sigma_x, \sigma_y, \tau_{xy}$ i zredukowane σ_z .

4. Przykłady liczbowe

Na podstawie opracowanego programu rozwiązano szereg prostych przykładów liczbowych. Jako pierwszy przedstawiono przykład ramy płaskiej (rys. 5) obciążonej przestrzennie, której wytrzymałość obliczono dwiema metodami, powyższą z uwzględnieniem skręcania nieswobodnego (PPLY) oraz bez skręcania nieswobodnego (WAT-KM). Wyniki obliczeń według metod zostały przedstawione w tablicach 7 i 8.

Analiza naprężeń stycznych (tabl. 7) wykazała, że system WAT-KM daje zawyżone wartości naprężeń stycznych (w tym przypadku o 61,5%) przy jednakowym lub mniejszym momencie skręcającym w porównaniu z przedstawioną metodą obliczeń. Rozbieżność



Rys. 5. Model ramy skręcanej.

Tabela 7.

Zestawienie wewnętrznych momentów skręcających i naprężeń stycznych w poszczególnych elementach ramy (porównanie z nieswobodnym skręcaniem).

| Nr pręta | PPLY | | | KM-WAT | PPLY | | | KM-WAT | Δ_{P-K} [%] |
|-------------|-----------------|----------------------|-----------------|-----------------|-------------------|------------------------|-------------------|-------------------|-----------------------|
| | M_V [kGcm] | M_ω [kGcm] | M^* [kGcm] | M_s [kGcm] | τ_v [MPa] | τ_ω [MPa] | τ_P [MPa] | τ_K [MPa] | |
| 1 | -798,0 | -1600,5 | -2398,6 | -1129,5 | 40,59 | 8,3 | 48,9 | 58,9 | -16,9 |
| 2 | -798,0 | -1600,5 | -2398,6 | -1129,5 | 40,59 | 8,3 | 48,9 | 58,9 | -16,9 |
| 3 | 959,1 | 1920,6 | 2879,8 | 2882,9 | 23,50 | 3,68 | 27,18 | 70,6 | -61,5 |
| 4 | 959,1 | 1920,6 | 2879,8 | 2882,9 | 23,50 | 3,68 | 27,18 | 70,6 | -61,5 |
| 5 | -798,0 | -1600,5 | -2398,6 | -1129,5 | 40,59 | 8,3 | 48,9 | 58,9 | -16,9 |
| 6 | -798,0 | -1600,5 | -2398,6 | -1129,5 | 40,59 | 8,3 | 48,9 | 58,9 | -16,9 |
| 7 | 959,1 | 1920,6 | 2879,8 | 2882,9 | 23,50 | 3,68 | 27,18 | 70,6 | -61,5 |
| 8 | 959,1 | 1920,6 | 2879,8 | 2882,9 | 23,50 | 3,68 | 27,18 | 70,6 | -61,5 |
| 9 | -489,3 | -3193,6 | -3683,0 | | 23,0 | | | — | |

$$*M_s = M_v + M_\omega; \quad \Delta_{P-K} = \frac{\tau_P - \tau_K}{\tau_K} \cdot 100; \quad \tau_P = \tau_v + \tau_\omega$$

PPLY — system oparty na metodzie elementów skończonych z uwzględnieniem skręcania nieswobodnego,

KM — system oparty na metodzie elementów skończonych (bez skręcania nieswobodnego) opracowany przez KMS i Wytrż. Mat. WAT.

Tabela 8.

Zestawienie maksymalnych naprężeń normalnych i zastępczych w elementach ramy skrętej (porównanie z nieswobodnym skręcaniem).

| Nr pręta | PPLY | | | KM-WAT | $\Delta_{(P-K)_n}$ % | PPLY | KM-WAT | $\Delta_{(P-K)_z}$ % |
|-------------|------------------------|------------------------|---------------------|-----------------------------------|-------------------------|-------------------|-------------------|-------------------------|
| | σ_θ MPa | σ_ω MPa | σ_n^* MPa | $\sigma_\theta = \sigma_n$ MPa | | σ_z MPa | σ_z MPa | |
| 1 | 7,389 | 237,1 | 244,5 | 7,397 | 96,9 | 258,7 | 102,3 | 152,8 |
| 2 | 7,389 | 237,1 | 244,5 | 7,397 | 96,9 | 258,7 | 102,3 | 152,8 |
| 3 | 1,99 | 75,39 | 77,38 | 2,576 | 96,7 | 90,57 | 122,4 | -26,0 |
| 4 | 1,99 | 75,39 | 77,38 | 2,576 | 96,7 | 90,57 | 122,4 | -26,0 |
| 5 | 7,389 | 237,1 | 244,5 | 7,397 | 96,9 | 258,7 | 102,3 | 152,8 |
| 6 | 7,389 | 237,1 | 244,5 | 7,397 | 96,9 | 258,7 | 102,3 | 152,8 |
| 7 | 1,99 | 75,39 | 77,38 | 2,576 | 96,7 | 90,57 | 122,4 | -26,0 |
| 8 | 1,99 | 75,39 | 77,38 | 2,576 | 96,7 | 90,57 | 122,4 | -26,0 |
| 9 | 0,00 | 276,87 | 276,87 | 0,0 | 100 | — | — | — |

$$\Delta_{(P-K)_n} = \frac{\sigma_{nP} - \sigma_{nK}}{\sigma_{nP}} \cdot 100; \quad \Delta_{(P-K)_z} = \frac{\sigma_{zP} - \sigma_{zK}}{\sigma_{zK}} \cdot 100; \quad \sigma_n = \sigma_\theta + \sigma_\omega$$

σ_θ — naprężenia gnące, σ_ω — normalne naprężenia wycinkowe (pochodzące od nieswobodnego skręcania), σ_z — naprężenia zastępcze wg hipotezy Hubera.

ta wynika stąd, że przy skręcaniu nieswobodnym prętów cienkościennych całkowity moment skręcający jest równy

$$(4.1.) \quad M_s = M_v + M_\omega$$

momentowi de San Venanta (M_v) i momentowi giętno-skrętnemu (M_ω), natomiast w metodzie bez skręcania nieswobodnego (system WAT-KM) przyjmuje się, że moment całkowity skręcający

$$(4.2.) \quad M_s = M_v,$$

jest równy momentowi de San Venanta, w wyniku czego otrzymuje się nieadekwatne naprężenia styczne. Z porównania naprężeń normalnych (σ_n) obu metod w tabl. 8 wynikają duże rozbieżności, ponieważ w metodzie z uwzględnieniem skręcania nieswobodnego są one równe

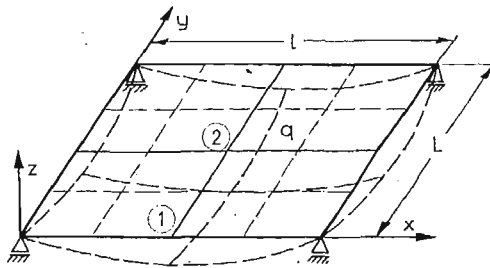
$$(4.3.) \quad \sigma_n = \sigma_g + \sigma_\omega,$$

tzn. sumie naprężeń gnących (σ_g) i wycinkowych (σ_ω) — pochodzących od bimomentu. W metodzie (WAT-KM) bez skręcania nieswobodnego naprężenia normalne są równe naprężeniom gnącym

$$(4.4.) \quad \sigma_n = \sigma_g.$$

Z porównania naprężeń zastępczych (tabl. 8) wynika, że błąd w obliczeniach prowadzonych bez uwzględnienia teorii prętów cienkościennych jest znaczny i osiąga w tym wypadku 152,8%. Oprócz tego należy zwrócić uwagę na maksymalne naprężenia (przekrój niebezpieczny), które według obu metod są w różnych przekrojach ramy (rys. 5).

Drugim przykładem jest płyta kwadratowa izotropowa (rys. 6), podparta w narożach i obciążona równomiernie (q). W tabl. 9 porównano wyniki analizy



Rys. 6. Płyta kwadratowa izotropowa obciążona równomiernie.

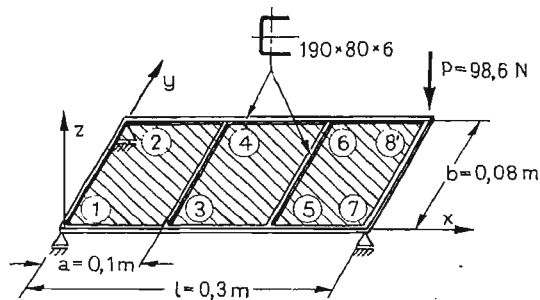
metodą elementów skończonych otrzymane programem PPLY z przykładem Zienkiewicza [7] i innymi rozwiązaniami przybliżonymi. W tym przypadku, gdzie koncentracja sił w narożach komplikuje zagadnienie, uzyskano dosyć dobrą zgodność zarówno przemieszczeń, jak i naprężeń. Przy bardziej zagęszczonej siatce podziału na elementy uzyskuje się większą dokładność i zbieżność wyników.

Trzecim przykładem liczbowym jest konstrukcja prętowo-płytowa skręcana asymetrycznie. Przedstawioną konstrukcję na rys. 7 podzielono na trzy elementy

Tabela 9.

Zestawienie przemieszczeń kwadratowej płyty liczone różnymi metodami.

| Obciążenie ciągłe (q) | | | | |
|----------------------------------|--------|-----------------|---------|---------------------|
| | Siatka | u_z (ugięcie) | | Mnożnik |
| | | Punkt 1 | Punkt 2 | |
| PPLY | 2×2 | 0,0145 | 0,0217 | $-\frac{qL^4}{D_1}$ |
| | 4×4 | 0,01677 | 0,0249 | |
| Zienkiewicz | 2×2 | 0,0126 | 0,0176 | |
| | 4×4 | 0,0165 | 0,0232 | |
| Marcus | — | 0,0180 | 0,0281 | |
| Lee i Ballesteras | — | 0,0170 | 0,0265 | |
| Obciążenie siłą skupioną (P) | | | | |
| PPLY | 2×2 | 0,07695 | 0,14662 | $-\frac{P^2}{D_1}$ |
| | 4×4 | 0,09066 | 0,15977 | |

Punkt 1 — środek boku, punkt 2 — środek płyty, D_1 — sztywność płyty.

Rys. 7. Konstrukcja prętowo-płytowa skręcana asymetrycznie.

prętowo-płytowe (2.3.2.) Analizę wytrzymałościową przeprowadzono MES z uwzględnieniem skręcania nieswobodnego programem PPLY. Ze względu na brak w literaturze podobnej analizy cienkościennych konstrukcji prętowo-płytowej, w tabl. 10 porównano wyniki przemieszczeń węzła pod siłą skupioną dla trzech przypadków konstrukcji: płytowej, ramowej i ramowo-płytowej.

Przeprowadzona analiza trzech przykładów wykazała, że przedstawiona metoda obliczeń cienkościennych konstrukcji prętowo-płytowych daje wyniki zadawalające. Uwzględnienie dodatkowego stopnia swobody κ (deplanacja przekroju pręta cienkościennego), pozwala na osiągnięcie wyników zbliżonych, odpowiadających rzeczywistym w stosunku do tradycyjnej MES (tabl. 7, 8). Ponadto wyprowadzona macierz sztywności płyty (tabl. 1) w porównaniu z wynikami np. Zienkiewicza (tabl. 9) przy tej samej siatce podziału daje wyniki dokładniejsze. Dla podziału na elementy 2×2 różnica wyników wynosi 18%, a przy 4×4 już 6,8% (tabl. 9). Różnice wyników maleją przy wzroście liczby elementów, na jaką konstrukcja została podzielona. Natomiast jest bardzo ważne, że program PPLY

T a b l i c a 10.

Maksymalne przemieszczenia trzech typów konstrukcji.

| Przemieszczenia w węźle nr 8 | konstrukcja | | | Mnożnik |
|---------------------------------|-------------|--------------|----------------|-----------|
| | ramowa | plytowa | ramowo-plytowa | |
| u_z [m] | -0,33685 | -33,01587299 | -0,33344 | 10^{-2} |
| κ [1/m] | -0,00000233 | 0,0 | -0,00000231 | 10^2 |
| α_x [rad] | -0,00420937 | -0,31269841 | -0,00416688 | — |
| α_y [rad] | 0,0011192 | 0,11005291 | 0,0011079 | — |

dla dużych elementów daje wyniki dokładniejsze od innych metod, a tym samym potwierdza możliwość stosowania programu do analizy wytrzymałościowej cienkościennych konstrukcji z podziałem na elementy prętowo-plytowe. Taki podział dla konstrukcji powtarzalnych pozwala w znaczny sposób skrócić efektywny czas liczenia i nie zajmuje tyle pamięci EMC, jak przy użyciu systemu ASKA, SEZAM-69 lub KM-WAT, w których oddzielnie są liczone macierze sztywności poszczególnych prętów i płyt.

Literatura cytowana w tekście

1. V. Z. VLASOV, *Tonkostennye uprugie sterzhni*. Gosud. izdat. fiziko-matem. literatury, Moskva 1959.
2. J. H. ARGYRIS, D. RADAJ, *StEIFigkeitsmatrizen dünnwandiger Stöbe und Stabsysteme*. Ingenieur — Archity, Nr 40/1971.
3. E. RUSIŃSKI, *Obliczanie ram samochodowych według metody elementów skończonych i teorii prętów cienkościennych*, Technika Motoryzacyjna nr 1 i 2/78.
4. E. RUSIŃSKI, *Analiza konstrukcji prętowo-tarczowych metodą elementów skończonych*. MTiS, zeszyt 2/1981.
5. J. S. PRZEMIEŃIECKI, *Theory of Matrix Structural Analysis*. McGraw-Hill 1968.
6. O. C. ZIENKIEWICZ, *Metoda elementów skończonych*. Arkady, Warszawa 1972.
7. O. C. ZIENKIEWICZ, Y. K. CHEUNG, *The finite element method for analysis of elastic isotropic and orthotropic slabs*, Proc. Inst. Civ. Eng., 28, s. 471 - 88, 1964.

Резюме

СТАТИЧЕСКИЙ АНАЛИЗ СТЕРЖНЕ-ПАНЕЛЬНЫХ КОНСТРУКЦИЙ МЕТОДОМ
КОНЕЧНЫХ ЭЛЕМЕНТОВ С УЧЕТОМ СТЕСНЕННОГО КРУЧЕНИЯ

В работе описан усовершенствованный по сравнению с применяемым до сих пор методом конечных элементов для анализа тонкостенных стержнепанельных конструкций. Предложен новый способ подразделения конструкций на стержне — панельные элементы, состоящие из панели и стержней на краях, а также определена матрица жёсткости такого элемента с учётом стеснённого кручения. Определена также матрица напряжений и внешняя сплошная нагрузка элемента панели. Разработана программа на языке ФОРТРАН 1900 для расчёта тонкостенных конструкций: стержневых, панельных и стержне-панельных.

Summary

THE METHOD OF FINITE ELEMENTS IN STATICAL ANALYSIS OF THE
ROD-SHIELD CONSTRUCTION, WITH NON-FREE TORSION, TAKEN INTO
ACCOUNT

The existing finite elements method has been improved for the analysis of thin-walled rod-shield constructions. The rod-shield construction consist of a thin panel framed with rods on all sides.

The stiffness matrix of such elements has been determined by taking into account the non-free torsion of the rods. The stress-matrix and external continuous loading matrix of an element have been also determined. The program PPLY in FORTRAN 1900 language for calculations of thin-walled constructions has been worked out. The program applies to calculation of rod constructions, rod-shield constructions and panel constructions. The program has been tested on computer Odra 1300. The paper has been illustrated with examples to verify the total procedure.

Praca została złożona w Redakcji dnia 22 października 1979 roku.
